

日大生産工学部 正員 三浦 星  
 日大生産工学部 正員 西川 鋼  
 ○ 日大生産工学部 正員 塚松 学

模型装置を用いて降雨が流出現象を解析する事は流出過程が複雑である、又流出に影響を及ぼす多くの要素がお互いに有効的な関連を持ち、これらなどから、同一縮尺に近い値を持つ様な模型装置を作製する事は不可能に近い。それゆえ流出現象に於ける浸透湧水、蒸発などの現象に関する問題はこれから実験に待つとして單に地表面の単純な変化（例えは宅地造成等）による降雨流出の変化、同一地区に於いて降雨パターンを変化させた場合の流出変化等は模型で定性的に解析する事は可能であると思われる。この報告は上記の如き観察より流出の基礎的実験を行ない、この後行なおうとしている都市化による流出変化実験解析の為の基礎資料を得る事を目的とした。実験装置は約3500 Lのノズルと持つ降雨強度、降雨パターンを変化させられる降雨装置と約2m × 2m の面積を持つ流域模型装置、及び流出量、浸透量測定装置とかなる。

流域の模型化に当り縮尺を決定する事が先決となるが、何を基準として決めるかは目的により異なりと渴われることが流出波形のピーク位置並びにハイドログラフ上昇下降時の時間に対する変化をもとめる事に主眼を置けば降雨に対する地表流の伝播速度、並びに地表面貯留量、排水路の配置等が影響を及ぼす重要なものである。

降雨に対する地表面流の伝播時間は、 $L_0$ を山腹斜面長、 $r_m$ を過剰降雨量、 $t_m$ を時間（t-t）内の平均過剰降雨強度、 $K_0$ を山腹の粗度と勾配により決まる定数、 $P_0$ を定数とすると到達時間 $t_m$ は次の式で示される。

$$\text{すなはち } t_m = K_0 L_0 / r_m^{1-P_0} \quad \text{eq(1)}$$

$$\text{こゝに } r_m = \int_0^t dt / (t-t), \quad K_0 = (n_0 / \sqrt{\sin \theta}) P_0$$

実験装置に於ても上記の式が成り立たなければならぬ。そこで表面処理をしたベニア板及び布を張った板を用いて降雨強度、勾配と変えた場合の上流端からの距離と時間の関係についての実験結果は図-1の様になった。又上記の材質でeq(1)により計算した値を破線で示す。よってこれと一致させるには次の式をeq(1)に束ねればよい。

$$f = A \cdot L_0^B \quad \text{eq(2)}$$

こゝに於て  $A = 0.64 \sim 1.05$ ,  $B = -0.061 \sim -0.022$ 。実験によると上記の関係が成り立つ範囲は  $32.4 \text{ mm/hr} \leq r \leq 142.8 \text{ mm hr}$ ,  $2^\circ 35' \leq \theta \leq 5^\circ 19'$ ,  $L_0 \leq 1.7 \text{ m}$  である。なお実際の粗度と粗度係数を一致させる為に模型に於て他の材質を使用し実験する場合には上記の実験を行ない、eq(2)の様な補正係数を算出し補正すればよい。

次に降雨の表面傳導であるが、実験の流出解析に於ける初期損失は降雨遮断量と表面貯留量により構成されるが、本実験に於ては两者を同一として扱った。又これら等の現象を実際とある比を持って模型にする事は困難であると思われる。こゝでは、これ等により貯留される量をひとすると  $v_i = S_i (1 - e^{-rt})$  の形態をとる事が望ましい。 $S_i$  は樹種や状態による定数。しかしこの模型

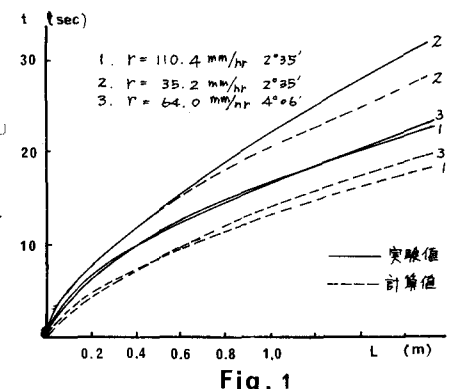


Fig. 1

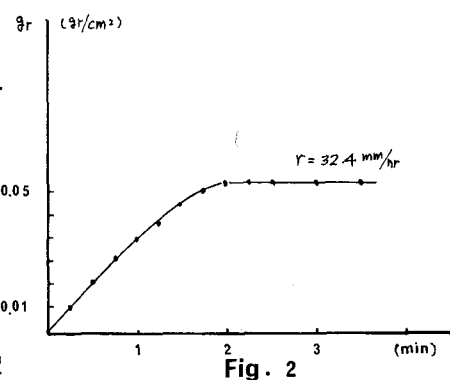


Fig. 2

装置では単位時間当りの降雨強度が強いので  $r_i \neq S_i$  と考えて良いと思われる。又連続降雨に対しての本実験での貯留量の時間変化は一例として図-2に示す様な曲線となる。

まえか2)の要素だけでは模型縮尺を決定することには問題が残るが流域の流下伝播時間で基準として模型比を考えるならば、模型に於て実際の勾配と相應、降雨強度を同じとし、伝播に対する時間の比を  $\alpha$  とすれば、流下方向への長さの縮尺は定常状態の場合  $A/\alpha$ 、 $B\alpha$  より次の様になる。模型での時間及びその時に降雨の上流端からの伝播距離を  $\alpha L$  とすると実際の時間と距離  $T, L$  は次の様に示される。

$$T = \frac{1}{\alpha} \cdot \alpha L = \left( \frac{A}{\alpha} \right)^{\frac{1}{P_0}} \cdot L^{1+\frac{B}{P_0}} \quad \text{eq. (3)}$$

例えば eq. 2 で定数が  $A=1.048$   $B=-0.022$  の斜面（例えばベニア）を用いて流域模型に於ては時間縮尺比  $1/10$  では模型での上流端から  $1.7 \text{ m}$  地表に於ては実際での約  $2.16 \text{ Km}$ 、又時間縮尺比  $1/10$  では約  $0.21 \text{ Km}$  に相当する。

今回の実験では勾配兼水路、降雨強度等を変化させてその時の流出の定性的な変化をみた。單に出水時間のおくれば eq. 1, eq. 2 及び、装置の測定位置と流量による補正を行なうと実験値のピーク位置の誤差は約 10 % 以内であると思われる。実験結果をみると、単純な流出模型実験にもかくもかなり定性的にはつきり示されているので、この変化を解析し、しかもとともに広範囲な同一の地形の変化に対する流出解析に適用すれば、実際の地形での流出の増加、減少並びにピーク位置のずれの検討が可能であると思われる。

Fig. 3 は水路のみの斜面での同一降雨による液、及び布斜面での流出曲線を示している。Fig. 4 は勾配の違いによる流出曲線を示す。Fig. 5 は布を張った斜面での水路の違いによる流出曲線の違いを示す。Fig. 6 は各流出曲線の減水部分の形状を示す。

実験結果についての解説及び対比についても講演時述べたり。今後の課題として浸透水路の位置表面状態の変化による流出の変化を検討する必要がある。

参考文献  
石原謙次郎 水工水理学  
山木 三郎 河川支流

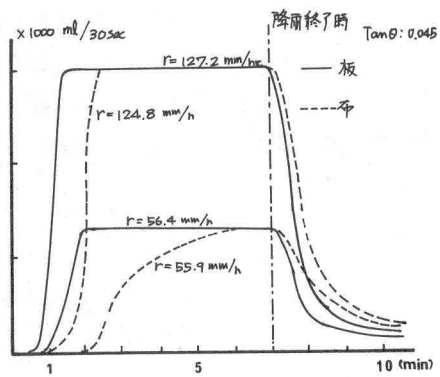


Fig. 3

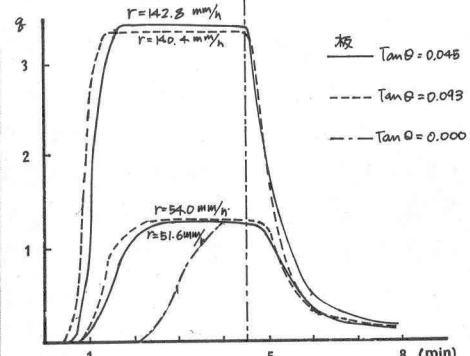


Fig. 4

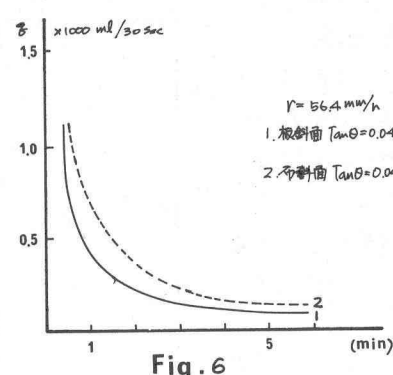


Fig. 6

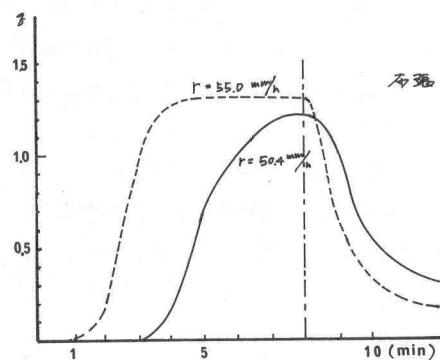


Fig. 5